

УДК 539.186

ВЗАИМОДЕЙСТВИЕ ВОЗБУЖДЕННЫХ АТОМОВ С МОЛЕКУЛАМИ

Ф. И. Далидчик и Г. К. Иванов

Рассматривается вопрос о взаимодействии возбужденного водородоподобного атома с нейтральной атомной частицей, имеющей низколежащие возбужденные состояния. Получены формулы для параметров псевдопересечения термов и автоионизационных ширин. Рассмотрены процессы неупругих атомно-молекулярных столкновений, сопровождающихся комбинированными электронно-колебательными переходами. Обсуждаются особенности рекомбинации электронов и положительных ионов в среде молекул, характеризующихся большими колебательными квантами.

Неупругие столкновения возбужденных атомов с молекулами, часто имеющие сечения порядка газокинетических, играют большую роль во многих практических важных физических явлениях. Они могут приводить, например, к образованию инверсии заселенностей колебательных уровней молекул, между которыми возможен лазерный переход. В настоящей работе основные особенности взаимодействия возбужденного водородоподобного атома A^* с нейтральной молекулой B рассматриваются в длинноволновом приближении, когда длина волны слабосвязанного электрона в атоме $\lambda |\lambda = \sqrt{2|E|}|$ существенно превышает размеры молекулы $\rho \sim 1 |e=m=\hbar=1|$. Ранее это же приближение использовалось при рассмотрении взаимодействия A^* с нейтральной бесструктурной частицей, например атомом в основном электронном состоянии [1, 2]. Учет многоканального характера взаимодействия электрона с короткодействующими центрами недавно был дан в работе [3] при рассмотрении системы $e-\text{H}_2$.

Обобщая ранее полученные результаты для электрона во взаимодействующей системе A^*B при учете неупругих переходов в частице B , имеем уравнение для оператора сдвига уровней $\hat{\tau}$, аналогичное уравнению (3) работы [2]

$$\hat{\tau} = \hat{\tau} \hat{G}^r \tau. \quad (1)$$

Здесь все операторы следует считать матрицами, соответствующими энергетически различным состояниям молекулы B . Так, оператор столкновения электрона с молекулой в длинноволновом приближении $\hat{\tau} = -2\pi \hat{L}(E) \delta(\mathbf{r}-\mathbf{R})$, где \hat{L} — матрица, диагональные L_{ss} и недиагональные $L_{ss'}$ элементы которой есть соответственно амплитуды упругого и неупругого рассеяния электрона на молекуле (\mathbf{r}, \mathbf{R} — радиус-векторы электрона и молекулы). \hat{G}^r — диагональная матрица: $(G^r)_{ss'} = \delta_{ss'} G_{E-\varepsilon_s}(\mathbf{R}, \mathbf{R})$, где $G_{E-\varepsilon_s}(\mathbf{R}, \mathbf{R})$ — регуляризованная функция Грина слабосвязанного электрона в атоме с энергией $E-\varepsilon_s$, ε_s — энергия возбуждения s -го состояния молекулы ($\varepsilon_s > 0$).

Условие однозначной разрешимости уравнения (1)

$$\det |\delta_{ss'} + 2\pi [\hat{L}\hat{G}^r(\mathbf{R}, \mathbf{R})]_{ss'}| = 0 \quad (2)$$

определяет положение стационарных и квазистационарных уровней энергии электрона $E_n^{(s)}(R)$.

Энергетическая зависимость амплитуд многоканального рассеяния в длинноволновом приближении известна [4]

$$\hat{L} = (\hat{\alpha} - \hat{\alpha})^{-1}, \quad \alpha_{ss'} = \delta_{ss'} \sqrt{2(\varepsilon_s - E)}. \quad (3)$$

Здесь $\hat{\alpha}$ — независящая от энергии матрица, элементы которой могут быть восстановлены из экспериментальных данных по рассеянию медленных электронов на молекуле или же найдены расчетным путем.

В приближении, учитывающем лишь упругое рассеяние электрона на молекуле, уравнение (2) имеет вид

$$\prod_s [\alpha_s - \alpha_s - 2\pi G_{E-\varepsilon_s}^r(R, R)] = 0 \quad (4)$$

и определяет семейства невзаимодействующих электронных термов $E_n^{(s)}(R)$, отвечающих различным состояниям молекулы. Неупругое рассеяние электрона на молекуле, описываемое недиагональными элементами матрицы \hat{L} , определяет взаимодействие этих термов, наиболее существенное в точках их пересечения. В то же время для состояний, отвечающих возбужденной молекуле, в области положительных энергий $E > 0$ неупругие процессы приводят к появлению у термов $E_n^{(s)}$ автоионизационной ширины Γ .

Переходы в дискретном спектре

Для молекул, у которых под действием электронов существенны переходы лишь между соседними колебательными уровнями, при расчете малого взаимодействия пересекающихся атомных термов $E_n^{(s)}$ и $E_{n'}^{(s')}$, достаточно в (2) ограничиться двухрядными матрицами

$$\hat{L} = \frac{1}{\Delta} \begin{vmatrix} \alpha_2 - \varepsilon_2 & \beta \\ \beta & \alpha_1 - \varepsilon_1 \end{vmatrix}, \quad \Delta = (\alpha_1 - \varepsilon_1)(\alpha_2 - \varepsilon_2) - \beta^2 \quad (5)$$

и \hat{G}^r с элементами $G_{E-\varepsilon_s}^r$ ($s = 1, 2$), рассчитываемыми в полюсном приближении

$$G_{E-\varepsilon_s}^r = \frac{D_n}{E - \varepsilon_s - E_n} + N_s(R); \quad (6)$$

$D_n = \sum_\sigma |\Phi_{ns}|^2$, E_n — энергия n -го уровня изолированного атома A^* , Φ_{ns} — соответствующая волновая функция, суммирование учитывает возможное вырождение. $N_s(R)$ определяется вкладом сплошного спектра и тех неучитываемых полюсным членом дискретных состояний, классическая орбита которых охватывает возмущающий центр.

Условие применимости полюсного приближения сводится к малости сдвига n -го уровня по сравнению с расстояниями до соседних уровняй

$$|2\pi L D_n(R)| \ll |E_n - E_{n\pm 1}|. \quad (7)$$

Для водородоподобных состояний в области $R < 2n^2$, характерной для классического движения электрона, это приводит к требованию, чтобы расстояние между атомом и молекулой было достаточно велико

$$R \gg L^2.$$

В этих условиях слагаемым $N_s(R)$ в (6) можно пренебречь.

В области подбарьерного движения электрона $R > 2n^2$ вычеты функций Грина экспоненциально малы, вследствие чего в (6) необходимо, вообще говоря, учитывать и $N_s(R)$

$$N_s(R) = \alpha_s(R) - \alpha_s(\infty), \quad \alpha_s(R) = \sqrt{\varepsilon_s - E - \frac{2}{R}}.$$

В окрестности точки пересечения термов с учетом их взаимодействия при $\beta \ll \chi_{1,2}$, пользуясь (2), (5) и (6), находим

$$\left. \begin{aligned} E_n^{(1)}, E_n^{(2)} &= \frac{1}{2} [\varepsilon_n^{(1)} + \varepsilon_n^{(2)} \pm \sqrt{(\varepsilon_n^{(1)} - \varepsilon_n^{(2)})^2 + 4V_{12}^2}], \\ \varepsilon_n^{(1)} &= E_n + \varepsilon_1 - 2\pi L_{11}(E_n) D_n(R), \\ \varepsilon_n^{(2)} &= E_n + \varepsilon_2 - 2\pi L_{22}(E_n) D_{n'}(R), \\ V_{12} &= 2\pi |L_{12}| \sqrt{D_n(R) D_{n'}(R)}, \quad L_{12} = \beta L_{11} L_{22}. \end{aligned} \right\} \quad (8)$$

Отметим, что в соответствии с (6) входящие в (8) и последующие формулы амплитуды имеют вид

$$L_{ss} = (\alpha_s + N_s(R) - \chi_s)^{-1}.$$

Если молекула B образует устойчивый отрицательный ион B^- (этому, как известно, отвечает $\chi_s > 0$), то помимо атомных термов $E_n^{(s)}(R)$ система имеет семейство ионных термов

$$E_{B^-}^{(s)}(R) = -\frac{\chi_s^2}{2} + \varepsilon_s - \frac{1}{R} \quad (9)$$

в точках $R_s = [-(\chi_s^2/2) + \varepsilon_s - E_n]^{-1}$, пересекающих атомные. При этом только в случае $\varepsilon_s > \chi_s^2/2$ точки пересечения термов располагаются в пределах классически разрешимого движения электрона $R_s < R_n = 2n^2$, где неупругие процессы наиболее существенны. С этой точки зрения интересен случай существования квазистационарного молекулярного отрицательного иона B^- , отвечающего электронно возбужденной молекуле, виртуальным образованием которого определяется резонансный характер взаимодействия электрона с молекулой (как, например, у N_2). Здесь $\Delta > \varepsilon_0$ (Δ — энергия электронного возбуждения молекулы), $\varepsilon_0 = \chi_0^2/2$ — энергия связи электрона в B^- , так как величина $\tilde{\epsilon} = \Delta - \varepsilon_0 > 0$ соответствует положению резонанса в рассеянии электрона на невозбужденной молекуле B . Соответствующие этому случаю \hat{x} - и \hat{L} -матрицы могут быть представлены в виде

$$\hat{x} = \begin{vmatrix} \chi_0 & \beta_1 & \dots & \beta_N \\ \beta_1 & \chi_1 & \dots & 0 \\ \vdots & & & \\ \beta_N & 0 & \dots & \chi_N \end{vmatrix}, \quad \hat{L} = (\hat{x} - \hat{z})^{-1}. \quad (10)$$

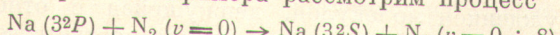
Здесь индекс «0» относится к электронно возбужденному состоянию молекулы (это состояние, как промежуточное, не детализируется). Положение и ширина автоионизационного уровня молекулярного иона $E_{B^-} = E_r - i\Gamma/2$ определяются полюсами \hat{L} -матрицы, т. е. являются корнями уравнения $\chi - \alpha_0 = \sum_s [\beta_s^2 / (\chi_s - \varepsilon_s)]$, откуда

$$\Gamma = 2\chi_0 \sum_{s(\varepsilon_s < \tilde{\epsilon})} \beta_s^2 \frac{\alpha_s}{\chi_s^2 + \alpha_s^2}, \quad \alpha_s = \sqrt{2(\tilde{\epsilon} - \varepsilon_s)}. \quad (11)$$

При конечных R в точках $R = (\tilde{\epsilon} - \varepsilon_s)^{-1}$ автоионизационный терм пересекает границу сплошного спектра серии $E_n^{(s)}$, а в точках $R = (\tilde{\epsilon} - E_n - \varepsilon_s)^{-1}$ атомные термы, при этом величина взаимодействия (если она не превышает разности между ближайшими уровнями), согласно (2), (6) и (10), есть

$$V_{B^-, E_n^{(s)}} = \beta_s L_{ss} \sqrt{2\pi\chi_0 D_n(R)}. \quad (12)$$

В качестве конкретного примера рассмотрим процесс



Отметим, что роль автоионизационного состояния N_2^- , которому соответствует резонанс в $e - N_2$ рассеянии при энергии $\tilde{\epsilon} \approx 2.5$ эв подчеркивалась ранее в [6]. Используя функции Слетеера [7] для Φ_{3P} и Φ_{3S} , по формуле (12) находим величины взаимодействия ионного терма $N_2^-[E_N, -(R)] = \tilde{\epsilon} - (1/R)$ с пересекаемыми им атомными термами 3^2P и 3^2S : $V_{P, v=0} =$

$= 0.1\beta_1 L_{11}$ (пересечение в точке $R = 5$); $V_{s_0} = 0.08\beta_1 L_{11}$ ($R = 3.5$); $V_{s_4} = -0.05\beta_4 L_{44}$ ($R = 4.4$); $V_{s_8} = 0.03\beta_8 L_{88}$ ($R = 5.3$). Параметры $\beta_s L_{ss}$ оценим, воспользовавшись формулой (11) и известным экспериментальным значением ширины E_{N_2} -терма $\Gamma = 0.1$ эВ [5].

При тепловых энергиях $v_{\text{ст.}} \sim 2 \cdot 10^{-4}$ а. е. и параметры Ландау—Зиннера $\zeta_s = (2\pi V_s^2 / v_{\text{ст.}}) R^2 \sim 1$, так что сечение $\sigma \sim 10^{-15}$ см² в согласии с имеющимися экспериментальными данными [8]. На основании этих оценок можно сказать также, что, поскольку $\zeta_s \sim 1$, наиболее вероятны переходы из 3^2P -состояния на соседние термы, т. е. в данном случае в 3^2S -состояния с $v=7$ и $v=8$. Это также находится в соответствии с экспериментом.

Переходы в непрерывном спектре

Для простоты этот случай рассмотрим в двухканальном приближении, учитывая лишь одно возбужденное состояние молекулы (ω — энергия возбуждения). Автоионизационная ширина термов этого состояния $\Gamma_n(R)$ в области энергий $0 < E < \omega$ определяется возможностью обмена энергией между возбужденной молекулой и электроном (аналог эффекта Пеннинга) и в рамках сформулированной модели может быть найдена без привлечения теории возмущений по величине электрон-молекулярного взаимодействия. Для случая слабой связи каналов ($L_{12} \ll L_{11}, L_{22}$) характеристическое уравнение (2) при $R \gg \chi_1^2$ можно представить в виде

$$2\pi \tilde{L}_{22}(E) G_{E-\omega}^F(\mathbf{R}, \mathbf{R}) = -1 \quad (E^{(1)} = E, E^{(2)} = E - \omega), \quad (13)$$

где при $\chi_2^2 \gg (E - \omega)$ $\tilde{L}_{22}(E) = L_{22}(E) - 2\pi i |L_{12}|^2 \text{Im } G_E(\mathbf{R}, \mathbf{R})$ — эффективная амплитуда упругого рассеяния электрона на возбужденной молекуле, неупругий обмен энергией. В однополюсном приближении (6) на основании (13) получаем

$$E_n^{(2)} = E_n + \omega + \Delta_n(R) - \frac{i}{2} \Gamma_n(R), \quad (14)$$

$$\left. \begin{aligned} \Delta_n(R) &= -2\pi L_{22} D_n(R), \\ \Gamma_n(R) &= 8\pi^2 |L_{12}|^2 D_n(R) \text{Im } G_E(\mathbf{R}, \mathbf{R}). \end{aligned} \right\} \quad (15)$$

При $R > 2n^2$ $D_n(R) \sim \exp(-2R/n) \ll 1$, т. е. $\Gamma_n(R)$ и вероятность автоионизации экспоненциально малы. При $1 < R < 2n^2$, пользуясь приближением ВБК для волновых функций, находим

$$\text{Im } G_E(\mathbf{R}, \mathbf{R}) = -\frac{k(R)}{2\pi}, \quad k(R) = \sqrt{2\left(E + \frac{1}{R}\right)} \quad (16)$$

и для вырожденных состояний водородоподобного атома

$$D_n(R) = \frac{k_n(R)}{2\pi^2 n^3}, \quad k_n(R) = \sqrt{2\left(E_n + \frac{1}{R}\right)}.$$

Отметим, что с помощью формулы (13) легко определить и ширину автоионизационного состояния молекулярного иона в поле кулоновского центра

$$\Gamma_{B-}(R) = \frac{4\pi \chi_2 \beta^2 \text{Im } G_{\tilde{E}}(\mathbf{R}, \mathbf{R})}{\chi_1^2 + |2\pi \text{Im } G_{\tilde{E}}(\mathbf{R}, \mathbf{R})|^2}, \quad \text{где } \tilde{E} = E_r - \frac{1}{R}. \quad (17)$$

Вероятность ионизации атома A^* с уровня E_{n_i} при столкновении с колебательно возбужденной молекулой, движущейся с относительной скоростью $v_{\text{ст.}}$ по траектории C , и полное сечение соответственно равны

$$W_C = 1 - \exp\left(-\int_C \Gamma \frac{dz}{v_{\text{ст.}}}\right), \quad (18)$$

$$\sigma = \frac{\pi}{n_i^2} \int W_C \rho_C d\rho_C, \quad (19)$$

ρ_c — прицельный параметр. Множитель n_i^{-2} в (19) учитывает тот факт, что в поле короткодействующего центра только одно из n_i^2 состояний возбужденного атома претерпевает существенный сдвиг и уширение уровня.

Из формул (17), (18) и (19) следует, что при условии $|L_{12}|^2 \gg n_i^3 v_{\text{ст.}}$ сечение ионизации близко к значению $\sigma \sim 4\pi n_i^2 \gg 1$. В другом (более типичном) случае $|L_{12}|^2 \ll n_i^3 v_{\text{ст.}}$.

$$\sigma = \frac{256}{15} \frac{|L_{12}|^2}{v_{\text{ст.}} n_i} F\left(-\frac{1}{2}, 2, \frac{7}{2}; -k^2 n_i^2\right), \quad k = \sqrt{2(E_{n_i} + \omega)}, \quad (20)$$

F — гипергеометрическая функция. При $k n_i \ll 1$ $\sigma = (256/15) (|L_{12}|^2 / n_i v_{\text{ст.}})$, т. е. ридберговское сгущение уровней атома приводит к конечным значениям сечения уже при нулевой энергии выбиваемого электрона. При $k n_i \gg 1$ роль кулоновского притяжения несущественна и $\sigma = (4\pi k / v_{\text{ст.}}) |L_{12}|^2$.

Из приведенных выше формул следует, что при медленных столкновениях, несмотря на малую вероятность неупругого перехода в молекуле ($L_{12} \ll L_{11}, L_{22}$), сечение ионизации может оказаться довольно большим. Так, при столкновении возбужденного водородоподобного атома A^* с молекулой H_2 , находящейся в возбужденном колебательном состоянии $v=1$, при энергии столкновения ~ 1 эв сечение ионизации с уровнем $|E_{n_i}| < \omega$ $\sigma \sim 10^{-14} \text{ см}^2$.

В заключение рассмотрим обратный ионизации процесс рекомбинации электронов и положительных ионов в среде молекул, характеризующихся большим колебательным квантумом. Используя принцип детального равновесия для столкновения трех частиц [9] и предполагая максвелловское распределение для электронов, для вероятности перехода в единицу времени из сплошного спектра на уровень E_n дискретного имеем

$$\beta = 2\pi^{3/2} \frac{\sigma_0}{\theta} \left(\frac{|E_n|}{\theta} \right)^{1/2} e^{-E'/\theta}, \quad (21)$$

где $E' = E_n + \omega$, $\sigma_0 = (256/15) |L_{12}|^2$ (при $E' \ll \omega$), $\theta = k_B T$, T — температура электронного газа, k_B — постоянная Больцмана.

βN (N — концентрация молекул) имеет тот же порядок величины при $N \sim 10^{19} \text{ см}^{-3}$, что и коэффициент рекомбинации электронов за счет упругих столкновений с молекулами η [10] (для тяжелых молекул βN превышает η), однако в рассматриваемом здесь случае сразу же заселяются значительно более глубокие уровни, причем, если разность между уровнями, на которые попадает электрон $\Delta E_n \sim n^{-3}$, превышает энергию электронов θ , имеет место избирательная заселяемость уровня $E_n \approx -\omega$.

Литература

- [1] И. В. Комаров, Л. А. Погорелый, А. С. Тибилис. Опт. и спектр., 27, 198, 1969.
- [2] Ф. И. Далидчик, Г. К. Иванов. Ж. прикл. спектр., 13, 363, 1970.
- [3] Ю. Я. Демков, В. Н. Островский. ЖЭТФ, 59, 1765, 1970.
- [4] M. Ross, G. Schaw. Ann. of Phys., 13, 747, 1961.
- [5] Б. М. Смирнов. Атомные столкновения и элементарные процессы в плазме. Атомиздат, М., 1968.
- [6] Е. Е. Никитин. Успехи химии, 37, 1669, 1968.
- [7] I. Slater. Phys. Rev., 36, 457, 1930.
- [8] R. G. W. Norrish, W. Smith. Proc. Roy. Soc., A176, 295, 1940; I. R. Hurne. J. Ch. Phys., 41, 3911, 1963.
- [9] М. И. Чубисов. ЖЭТФ, 49, 652, 1965.
- [10] Л. П. Питаевский. ЖЭТФ, 42, 1326, 1962.